

مقایسه ترابرد الکترون در حالت پایدار و ناپایدار AIN ، InN و GaN با استفاده از شبیه سازی مونت کارلو در حد میدان های الکتریکی بالا

اسلامی مقدم، زهرا^۱ عربشاهی، هادی^۲

^۱گروه فیزیک، دانشگاه تربیت معلم سبزوار، سبزوار

^۲گروه فیزیک، دانشگاه فردوسی مشهد، مشهد

چکیده

در این مقاله، فرآیندهای پراکندهگی مربوط به ترابرد الکترون در AIN, InN, GaN را با استفاده از شبیه سازی مونت کارلو با هم مقایسه خواهیم کرد. از مهم ترین عوامل محدود کننده رسانندگی الکتریکی در ترکیبات نیم رسانا، پراکندهگی الکترون ها هنگام اعمال میدان الکتریکی خارجی است فرآیندهای پراکندهگی در نظر گرفته شده در این مقاله عبارتند از پراکندهگی از پتانسیل تغییر شکل شبکه، پراکندهگی پیژوالکتریک، پراکندهگی از ناخالصی های یونیزه که در هر مورد با در نظر گرفتن این پتانسیل به عنوان یک پتانسیل اختلال از نظریه اختلال وابسته به زمان، آهنگ پراکندهگی محاسبه شده است.

مقدمه

ترکیبات نیم رساناهای AIN, InN, GaN عموماً در ساختار بلوری وورتسایت و زینک بلند متبلور می شوند [۱]. رشد ساختار بلوری وورتسایت شایع ترین روش رشد این ترکیبات است ولی می توان تحت شرایط خاص و روش های رشد بلور ویژه، این ترکیبات را در ساختار مکعبی زینک بلند نیز رشد داد. در این مقاله می بینیم که تفاوت پارامترهای فیزیکی در این ترکیبات باعث می شود که آهنگ پراکندهگی در آنها با هم متفاوت باشد. در سال های اخیر نیتراهای گروه III (AIN, InN, GaN) بویژه AIN, GaN به دلیل داشتن گاف نواری بزرگ، از پیشرفت های قابل ملاحظه ای در توسعه ابزارهای نوری و الکتریکی مانند ترانزیستورهای اثر میدان، دیودهای گسیل نوری و دیودهای لیزری که در محدوده طیفی ماورای بنفش آبی و سبز کار می کنند برخوردار بوده است [۲ و ۳ و ۴].

جزئیات مدل

اساس این کار پژوهشی مبنی بر استفاده از روش شبیه سازی مونت کارلو است [۶ و ۵] در این روش، معادله بولتزمن با استفاده از روش عددی آماری حل می شود. در شروع هر شبیه سازی پنج هزار شبه ذره در فضای اندازه حرکت بر طبق آمار ماکسول - بولتزمن توزیع می شوند. ذرات در حجم ماده توسط فونونهای اپتیکی قطبی، فونونهای آکوستیکی، فونونهای بین دره ای و ناخالصی های یونیزه پراکنده می شوند.

مکانیسم های پراکندهگی را می توان به دو نوع اصلی طبقه بندی کرد. آنهایی که ناشی از ارتعاشات شبکه هستند و پراکندهگی از شبکه یا از فونون نامیده می شوند، و پراکندهگی از نواقص بلوری مانند حضور ناخالصی ها اثر این برهم کنش ها به صورت اختلال در پتانسیل دوره ای اتم های شبکه منظور می شود. به این ترتیب می توان اثر ناکاملی های بلور بر حرکت الکترون را به کمک روش اختلال وابسته به زمان بررسی کرد [۷]. در این روش اثر ناکاملی های بلور به صورت پتانسیل های مختل کننده پتانسیل دوره ای اتم های بلور در نظر گرفته می شود. برهم کنش الکترون با این

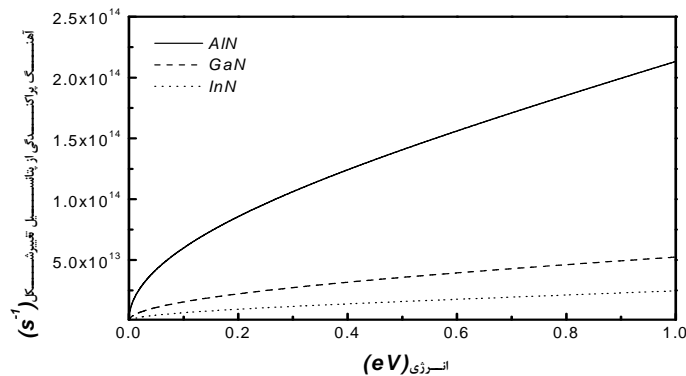
پتانسیل‌ها موجب تغییر حالت الکترون می‌شود. در این مقاله، رفتار آهنگ پراکندگی را به عنوان تابعی از انرژی در ساختار وورتسایت AlN, InN, GaN بررسی خواهیم نمود. پارامترهای فیزیکی که در محاسبات آهنگ پراکندگی مورد نیاز است در جدول ۱ گردآوری شده است.

جدول ۱: پارامترهای فیزیکی AlN ، InN و GaN که در محاسبات آهنگ پراکندگی مورد نیاز است [۸].

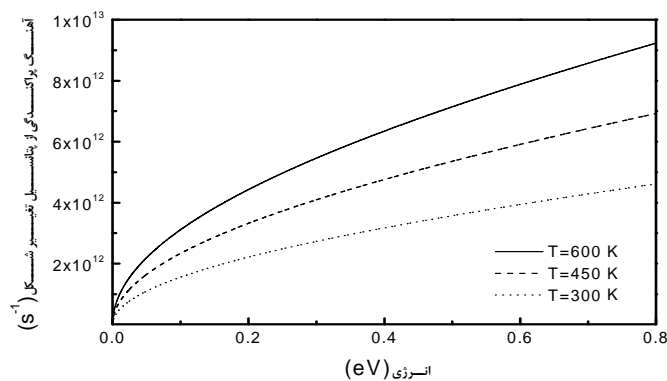
پارامترهای فیزیکی	GaN	InN	AlN
ثابت دی الکتریک فرکانس پایین ϵ_0	۹/۵	۱۵/۴	۸/۵
ثابت دی الکتریک فرکانس بالا ϵ_{∞}	۵/۳۵	۸/۴	۴/۷۷
انرژی فونون‌های اپتیکی (eV)	۰/۰۹۹۵	۰/۰۸۹	۹/۵
ثابت پیزوالکتریک (C/m^2)	۰/۳۷۵	۰/۰۶۵۲	۰/۹۲
ثابت پتانسیل تغییر شکل (eV)	۸/۳	۷/۱	۹/۵
چگالی ($kg m^{-3}$)	۶۱۵۰	۶۱۸۰	۳۲۲۰
سرعت صوت (ms^{-1})	۴۳۳۰	۶۲۴۰	۹۰۶۰

نتایج شبیه سازی

شکل ۱ آهنگ پراکندگی از فونون‌های آکوستیکی پتانسیل تغییر شکل شبکه را بر حسب تابعی از انرژی الکترون برای سه نیمرسانای AlN, InN, GaN در دمای اتاق نشان می‌دهد. همان‌طور که مشاهده می‌شود در هر سه مورد با افزایش انرژی الکترون، آهنگ پراکندگی افزایش می‌یابد، در انرژی $0.8 eV$. آهنگ پراکندگی در نیمرساناهای AlN, InN, GaN به ترتیب به حدود $10^{12}, 10^{13}, 10^{14} s^{-1}$ می‌رسد. همان‌طور که از شکل ملاحظه می‌شود زیاد بودن این آهنگ پراکندگی در AlN نسبت به GaN و InN به خاطر زیاد بودن پتانسیل تغییر شکل شبکه و جرم مؤثر الکترون در AlN نسبت به دو نیمرسانای دیگر است. چون آهنگ پراکندگی پتانسیل تغییر شکل شبکه با پتانسیل تغییر شکل و جرم مؤثر رابطه مستقیم دارد.

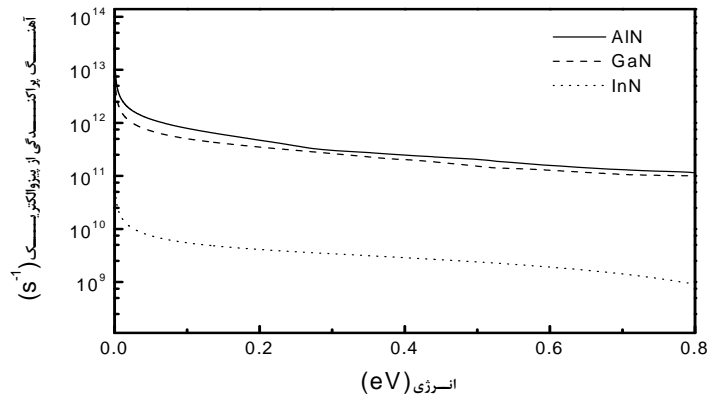


شکل ۱: آهنگ پراکندگی الکترون‌ها از پتانسیل تغییر شکل شبکه بر حسب انرژی برای سه نیم‌رسانای AlN , InN , GaN در دمای اتاق. بررسی آهنگ پراکندگی از پتانسیل تغییر شکل شبکه در دماهای مختلف نشان می‌دهد که در دماهای بالا اثر این پراکندگی از اهمیت بیشتری برخوردار است و نمی‌توان از آن صرف‌نظر کرد چنان‌که در شکل ۲ برای نمونه در ترکیب GaN نشان داده شده است.



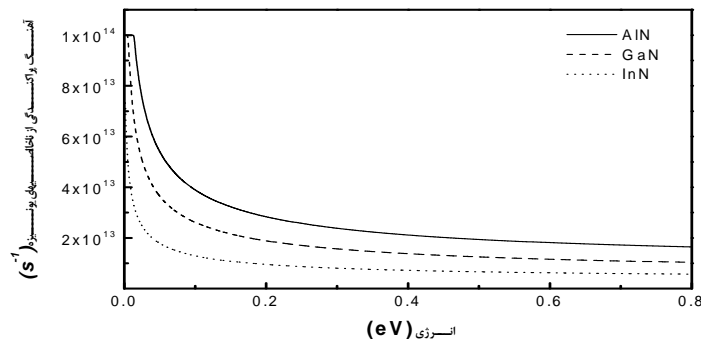
شکل ۲: تغییرات آهنگ پراکندگی الکترون از پتانسیل تغییر شکل شبکه بر حسب انرژی در دماهای مختلف در نیم‌رسانای GaN .

شکل ۳ آهنگ پراکندگی از فونون‌های آکوستیکی پیزوالکتریک را بر حسب تابعی از انرژی الکترون برای سه نیم‌رسانای AlN , InN , GaN در دمای اتاق نشان می‌دهد. همان‌طور که ملاحظه می‌شود این آهنگ پراکندگی در AlN قوی‌تر از InN , GaN است که دلیل آن جرم مؤثر الکترونی و ثابت پیزوالکتریک بزرگتر در این نیم‌رسانا نسبت به InN , GaN است، چون آهنگ پراکندگی پیزوالکتریک با جرم مؤثر و ثابت پیزوالکتریک رابطه مستقیم دارد. با افزایش انرژی الکترون، آهنگ پراکندگی در هر سه نیم‌رسانا کاهش می‌یابد. لذا می‌توان نتیجه گرفت که پراکندگی پیزوالکتریک فقط در حد انرژی‌های الکترونی ضعیف دارای اهمیت است و در حد میدان‌های الکتریکی قوی که در آن انرژی الکترون‌ها بالا است اثر قابل توجهی در پراکندگی الکترون‌ها ندارد، لذا می‌توان از آن صرف‌نظر کرد.



شکل ۳: آهنگ پراکندگی الکترون‌ها ناشی از اثر پیزوالکتریک بر حسب انرژی برای سه نیمرسانای AlN , InN , GaN در دمای اتاق.

آهنگ پراکندگی از ناخالصی‌های یونیزه بر حسب تابعی از انرژی الکترون، برای سه نیمرسانای AlN , InN , GaN در دمای اتاق در شکل ۴ نشان داده شده است. چنان‌که مشاهده می‌شود در هر سه نیمرسانا با افزایش انرژی الکترون، آهنگ پراکندگی کاهش می‌یابد. در نیمرسانای InN در انرژی‌های بسیار پایین از مقدار حدود $7 \times 10^{13} \text{ s}^{-1}$ به حدود $0.5 \times 10^{12} \text{ s}^{-1}$ در انرژی 0.8 eV می‌رسد. این کاهش در نیمرسانای GaN کندتر است و در انرژی‌های بسیار پایین از حدود 10^{14} s^{-1} به حدود 10^{13} s^{-1} در انرژی 0.8 eV می‌رسد و در نیمرسانای AlN در انرژی‌های بسیار پایین از حدود $2 \times 10^{14} \text{ s}^{-1}$ به حدود $3 \times 10^{13} \text{ s}^{-1}$ در انرژی 0.8 eV می‌رسد. پراکندگی الکترون‌ها از ناخالصی‌های یونیزه تنها در انرژی‌های پایین فرآیند مهم و تأثیرگذاری در تراورد الکترون می‌باشد و با افزایش انرژی الکترون، اثر آن به سرعت کاهش می‌یابد. افزایش آهنگ پراکندگی از اتم‌های ناخالصی یونیزه در نیمرسانای AlN نسبت به InN , GaN در تمامی مقادیر انرژی الکترونی بعلاوه جرم مؤثر بیشتر الکترون در AlN است. افزایش جرم مؤثر باعث کاهش انرژی جنبشی الکترون در بلور می‌شود، در نتیجه الکترون مدت زمان بیشتری تحت تأثیر پتانسیل کولنی حاصل از اتم‌های ناخالصی قرار گرفته و در نتیجه آهنگ پراکندگی از مراکز ناخالصی یونیزه زیاد می‌شود. پراکندگی از ناخالصی‌های یونیزه توسط پتانسیل پوششی کولمب از نوع بروکس-هرینگ در نظر گرفته شده است [۱۰].



شکل ۴: آهنگ پراکندگی در حضور اتم‌های ناخالصی با چگالی 10^{22} m^{-3} بر حسب تابعی از انرژی در سه نیمرسانای InN , GaN و AlN

نتیجه گیری

پراکندگی ناشی از فونون‌های اپتیکی قطبی مهم‌ترین مکانیسم پراکندگی در دمای اتاق در نیمرساناهای گروه III-V مانند GaN و یا ترکیبات دیگر نظیر AlN, InN است. زیرا در این گروه ترکیبات نیمرسانا انرژی فونون‌ها بالاست [۱۰] و همانند سایر مواد III-V پراکندگی از پتانسیل تغییر شکل شبکه در دماهای بالا مهم‌ترین مکانیسم پراکندگی است.

مرجع‌ها

1. W. L. Lambrecht, B. Segall, "Band structure of the group - III nitride", Academic press (1998).
2. Nakamura, s; "The blue Diod-GaN based hight emitters and lasers"; Springer, Berlin. (1997).
3. M Iwaya, S terao, T Sano, T ukai, R Nakamura, S Kamiama, H Amano and I Akasaki, *J. Crystal Growth* **237-239** (2002) 951.
4. S Nakamura and G Fasol, *The Blue Laser Diode*, Springer-Verlag, Berlin (1997).
5. C. Moglestue, *Monte Carlo Simulation of semiconductor Device*, **1993**, Chapman and Hall
6. C. Jacoboni and P. Lugli, *The Monte Carlo for semiconductor and Device Simulation*, **1989**, springer-Verlag
7. Charles M. wolf; Nick Holonak, Jr.; Gregory E. Stillman "Physical Properties of Semiconductors" Prentice Hall, New Jersey (1989).
8. S. J. Pearton, J. C. Zolper, R. J. shul and F. Ren, *J. Appl. Phys.* **86**, (1999).
9. H. Morkoc, "Nitride Semiconductor and Devices", Springer-Verlag (1999).